

مقایسه چارچوب‌های بهینه‌سازی چندموضعی در طراحی حامل فضایی

حسن ناصح

استادیار، پژوهشگاه هوافضا، وزارت علوم، تحقیقات و فناوری، تهران، hnaseh@ari.ac.ir

تاریخ دریافت: ۱۳۹۵/۰۴/۰۵

تاریخ پذیرش: ۱۳۹۵/۰۸/۰۱

چکیده

در این مقاله، ضمن معرفی چارچوب‌های جدید طراحی بهینه چندموضعی حامل‌های فضایی، کارآبی چارچوب‌های بهینه چندموضعی نیز بررسی شده است. طی سالیان اخیر، دو چارچوب اصلی طراحی بهینه چندموضعی به کار رفته در طراحی حامل‌های فضایی، طراحی بهینه چندموضعی و طراحی همزمان جامع بوده است. مورد نخست براساس روش‌های بهینه‌سازی در قالب روش‌های بهینه‌سازی چندموضعی، امکان طراحی چندموضعی توسعه یافته و مورد دوم با بهره‌گیری از منطق فازی و تبدیل مسئله بهینه‌سازی چندهدفی مقید به بهینه‌سازی تک‌هدفی نامقید توسعه یافته است. در این مقاله دو چارچوب مورد اشاره برای طراحی بهینه چندموضعی حامل‌های فضایی پیاده‌سازی شده است. برای ارزیابی کارآبی چارچوب‌های طراحی از منظر زمان اجرا و دقت نتایج، از نتایج حاصل از پیاده‌سازی دو چارچوب برای یک حامل فضایی موجود استفاده شده است. نتایج حاکی از دقت بالاتر چارچوب طراحی بهینه چندموضعی و زمان اجرای کمتر چارچوب طراحی همزمان جامع است. گفتنی است چارچوب طراحی بهینه چندموضعی در مجامع علمی توسعه چشمگیری یافته است، این در حالی است که طراحی همزمان جامع در ابتدای راه توسعه بهینه‌سازی چندموضعی قرار دارد.

واژگان کلیدی

طراحی بهینه، طراحی چندموضعی^۱، حامل فضایی، طراحی بهینه چندموضعی^۲، طراحی همزمان جامع^۳

۱. مقدمه

در کمیته منجر به تعریف شرح وظایف برای مسئولان هر موضوع می‌شود. وظایف محوله تا جلسه کمیته سیستمی بعدی انجام و نتایج آن مورد بررسی قرار می‌گیرد. گاهی این نتایج موجب رضایت مسئولان دیگر موضوعات نمی‌شود و این روند تا رسیدن

رویکرد سنتی در طراحی حامل‌های فضایی و دیگر سامانه‌های فضایی بدین صورت است که بررسی موضوعات مختلف طراحی در قالب کمیته‌های سیستمی به صورت هفتگی صورت می‌پذیرد. در این حالت، پیشنهادات با در نظر گرفتن تغییر موضوعات گوناگون

طراحی بهینه چندموضعی حامل‌های فضایی را توسعه داده‌اند. در این روش با حذف قیود طراحی و بیان موضوعات طراحی در قالب قوانین فازی، سرعت در همگرایی مسائل نسبت به روش‌های طراحی بهینه چندموضعی افزایش یافته است. به عبارت دیگر افزایش زمان همگرایی در روش‌های مرسوم طراحی بهینه چندموضعی، چکنمودن نقض قیود طراحی در حلقه‌های تکرار می‌باشد، که در این روش از آن اجتناب می‌شود.

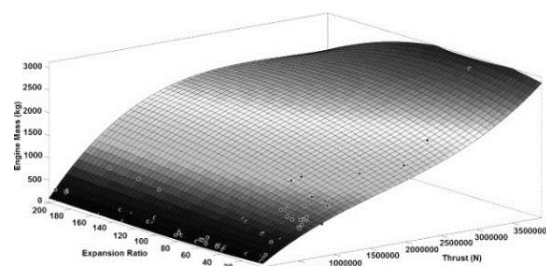
چارچوب طراحی بهینه چندموضعی سابقه و رواج بسیاری در بهینه‌سازی طراحی چندموضعی نسبت به چارچوب طراحی چندموضعی دارد؛ از منظر رواج این روش در میان طراحان، می‌توان به برگزاری همایش‌های تخصصی در این حوزه اشاره کرد. غالباً طراحان در طراحی بهینه چندموضعی سامانه‌ها از این روش استفاده می‌کنند. دلیل این امر قابلیت مدل‌سازی کل سامانه‌های فضایی در چارچوب‌های مرسوم طراحی بهینه چندموضعی است. به عبارتی، ساختار طراحی بهینه چندموضعی به‌گونه‌ای است که به طراحان اجازه می‌دهد سامانه پیچیده‌ای را بهراحتی در چارچوب‌های مناسب موضوع مدل کند. این در حالی است که چارچوب‌های طراحی بهینه چندموضعی در مسائل چندهدفی مشکلات همگرایی دارند. بنابراین از این منظر در چارچوب طراحی همزمان جامع، در صورتی که طراح نسبت به موضوعات مهارت کافی داشته باشد و معیار مناسبی (روش‌های طراحی براساس مدل‌های تحلیلی) برای صحه‌گذاری بر قوانین وجود داشته باشد، علاوه بر برطرف شدن مشکلات همگرایی، بهراحتی مسائل چندهدفی مقید با بهره‌گیری از منطق فازی به مسائل بهینه‌سازی تکهدفی نامقید تبدیل می‌شوند. این در حالی است که چارچوب‌های طراحی همزمان جامع با افزایش تعداد موضوعات طراحی، تدوین قوانین فازی برای تعداد متغیرهای طراحی چندان کار ساده‌ای نیست. راه کاری که برای رفع این عدم انطباق در منطق فازی وجود دارد، یادگیری و هوشمندسازی منطق فازی است که معمولاً از روش سیستم استنتاج فازی - عصبی تطبیقی^۱ استفاده می‌شود. به هر حال، توسعه رویکردهای جدید بیان شده در مراکز طراحی، سبب حذف بسیاری از نشستهای در کمیته‌های سیستمی به منظور بررسی موضوعات مختلف شده است و پرداختن به توسعه آنها بسیار ضروری و حائز اهمیت است. بنابراین در این مقاله، کارآیی دو رویکرد طراحی بهینه چندموضعی و طراحی همزمان جامع بررسی شده است.

به نتایج مطلوب تکرار می‌گردد. توسعه رویکردهای سنتی در طراحی موضوع حامل‌های فضایی توسط میرشمیس و همکاران توسعه یافته است [۳-۱]. نخستین بررسی‌ها در حوزه رویکردهای جدید (بهینه‌سازی چندموضعی) توسط سویسیکی (۱۹۸۲) و هفتکا (۱۹۸۵) انجام شده است [۴-۶]. در مأخذ [۶] تا [۱۰] نیز مسائل بهینه‌سازی مشارکتی، سایزینگ حامل فضایی و مسائل بهینه‌سازی چندموضعی تکهدفی و چندهدفی بطور خاص روی حامل فضایی سوخت جامد و مایع به روش‌های تکسطحی و دوستحی اجرا و نتایج آن مقایسه شده است. در مراجع [۱۱] تا [۱۴] ایرادهایی پیرامون بهینه‌سازی چندموضعی وارد شده است که از آن جمله می‌توان به عدم قطعیت همگرایی روش برای یک مسئله خاص و عدم کارآیی آن برای تمام مسائل بهینه‌سازی اشاره کرد. تمامی مشکلات مذکور در مراجع فوق برای بهینه‌سازی تکهدفی است و برای این منظور در توسعه روش‌های دوچندان خواهند شد. برای این منظور در طراحی چندهدفی بهینه‌سازی طراحی چندموضعی از مکاترونیک کلامی الهام گرفته شده است [۱۵-۱۶]. گلوگاه روش فوق تعداد زیاد توابع قید و هدف موضوعات طراحی‌اند که باید به صورت همزمان با تعداد قابل توجهی متغیر طراحی در تعامل باشند. در این راستا، مکاترونیک کلامی با بهره‌گیری از منطق فازی و استفاده از یک مدل سیستمی مکاترونیک جامع تعاملات را عملیاتی می‌سازد [۱۷-۲۶]. روش‌های طراحی تهاجمی^۲ یا محافظه‌کارانه^۳ براساس میزان رضایت از طرح در طراحی اخلاق می‌شوند [۲۷]، که به‌ترتیب در طراحی وقتی اتفاق می‌افتد که پارامترهای کارآیی به‌گونه‌ای انتخاب شوند که مقادیر پارامترهای طراحی در محدوده کران بالا و پایین قیود طراحی یا در بازه‌های میانی قید قرار گیرند. لذا در نهایت چارچوب بهینه‌سازی طراحی برای رفع نواقص مراجع فوق ارائه شده است که دارای ویژگی‌های ذیل است:

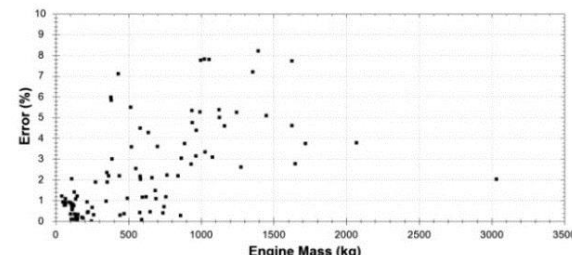
۱. تقسیم نسبت‌های طراحی به دو بخش ذاتاً متفاوت که توابع بایستگی و ایده‌آل‌های طراحی نامیده می‌شود
۲. تجمع رضایت‌ها با به کار گیری منطق فازی پارامتریک چنانچه وضعیت‌های طراح می‌تواند براساس معیار کارآیی تنظیم شود

بنابراین در مراجع [۲۸] تا [۳۲]، جزئیات چارچوب و نحوه صحه‌گذاری بر آن ارائه شده است. در مراجع [۳۳] و [۳۴]، میرشمیس و همکاران چارچوب طراحی همزمان جامع برای

استخراج شده‌اند. ورودی مدل‌های تحلیلی نیز داده‌های آماری می‌باشند. سه متغیر طراحی مستقل مرتبه با دوتابع هدف وزن و کارآبی در موتور عبارت‌اند از: نسبت دبی اکسیدکننده به سوخت، فشار محفظه احتراق موتور و فشار محیط عملکردی. متغیرهای طراحی موضوع سازه نیز عبارت‌اند از بار بحرانی واردہ به سازه، قطر، طول و ابعاد مخازن، نسبت دبی اکسیدکننده به سوخت، ضخامت پوسته مخازن و ابعاد استرینگر و رینگ. مدل تخمین آماری جرم موتور در شکل ۱ و خطای این مدل در شکل ۲ نمایش داده شده است.



شکل ۱. مدل تخمین جرم موتور به صورت آماری [۳۳]



شکل ۲. خطای مدل آماری [۳۳]

در شکل‌های ۳ تا ۷ نیز تغییرات سه‌بعدی، که به صورت دو بعدی ترسیم شده، به ترتیب ضربه ویژه، انبساط سطحی نازل موتور، سرعت مشخصه نسبت به پارامترهای طراحی موتور و سازه نمایش داده شده است.

۳. روش تحلیل همزمان جامع

در شکل ۸، روندnamای چارچوب طراحی همزمان جامع نمایش داده شده است. این روندnamای دارای سه فاز اصلی است: فاز اولیه، ثانویه و معیار کارآبی. در ادامه هر یک از این فازها تشریح می‌شود. فاز اولیه روش طراحی تحلیل همزمان جامع بر سه موضوع مرکز می‌شود: موضوعات و توابع هدف مسئله طراحی چندموضعی، توابع تعلق در نظر گرفته شده برای متغیرهای طراحی، ترکیب توابع

۲. موضوعات طراحی در حامل فضایی

در طراحی حامل‌های فضایی توابع هدف گوناگونی مد نظر طراحان قرار می‌گیرند که از آن جمله می‌توان به کمینه‌نمودن وزن و هزینه و بیشینه‌نمودن قابلیت اطمینان، کارآبی، دقت تزریق و جز این‌ها اشاره کرد. برخی از توابع هدف تحت تأثیر بردار متغیرهای طراحی رفتاری متناقض دارند؛ بدین معنا که با افزایش قابلیت اطمینان حامل فضایی ممکن است کارآبی آن کاهش یابد. بنابراین در انتخاب متغیرهای طراحی و موضوعات طراحی باید به نکات زیر توجه کرد.

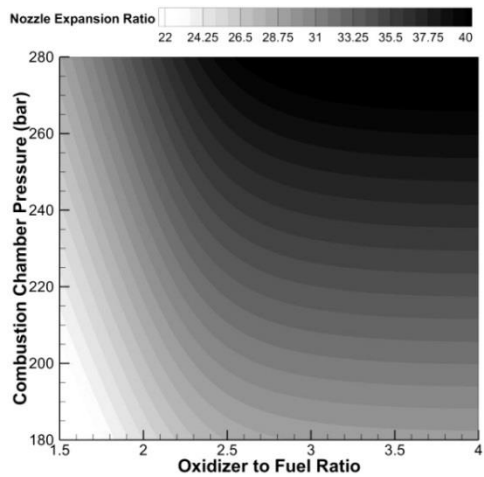
موضوعات طراحی در سامانه حامل فضایی با توجه به استانداردها می‌توانند براساس وجود فیزیکی یا وظایف عملکردی تعریف شوند. به عبارت دیگر، موضوع طراحی باید یا در درخت محصول^۷ و یا در درخت عملکرد^۸ قرار گیرد. مثلاً موضوع ائرودینامیک به زیرسامانه خاصی اطلاق نمی‌شود و تنها معرف مجموعه شمايل فیزیکی حامل فضایی (فیرینگ، بالک‌های ائرودینامیکی، قطر بدن و جز این‌ها) می‌شود، در حالی که موضوع پیشراحت به زیرسامانه پیشراحت و متعلقات بازمی‌گردد. همچنین انتخاب موضوع طراحی بهدلیل تحمیل حجم و هزینه‌های محاسباتی باید به‌گونه‌ای صورت پذیرد که بهطور مستقیم بر تابع هدف مؤثر باشد. بنابراین با توجه به اینکه دوتابع هدف با اهمیت در طراحی حامل‌های فضایی، موضوع وزن و کارآبی می‌باشد، دو سامانه اصلی حامل فضایی مؤثر بر توابع هدف فوق، موتور (کارآبی موتور یا ضربه ویژه و وزن موتور) و سازه (وزن سازه) می‌باشند. در ادامه به نحوه انتخاب متغیرهای طراحی شرکت‌کننده در سیکل طراحی پرداخته می‌شود.

متغیرهای طراحی در هر موضوع به متغیرهایی گفته می‌شوند که دارای سه ویژگی باشند:

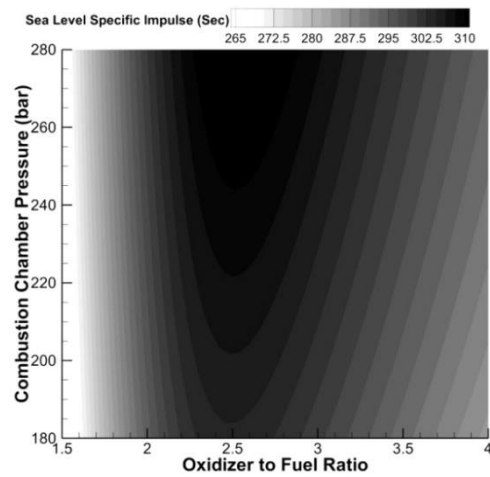
۱. مستقل از هم باشند
 ۲. بهشت بر نیازهای مأموریتی تعریف شده اثرگذار باشند
 ۳. بر معیار طراحی تأثیر مستقیم داشته باشند
- با توجه به تعریف فوق، با مدلسازی مناسب سازه براساس به‌کارگیری مدل‌های تحلیل مقاومتی که با به‌کارگیری روش المان محدود^۹ صحه‌گذاری شده است [۳۴] و مدلسازی طراحی موتور براساس کدهای احتراقی موجود (آر. پی. ای.^{۱۰} و سی. ای.^{۱۱}) که غالباً تجاری و در پروژه‌های صنعتی صحه‌گذاری شده‌اند [۱۰]، مقادیر بازه‌ها و رفتار متغیرها در بازه‌های مختلف

همچنین برخی از قوانین فازی در نمونه در جدول ۱ آورده شده است.

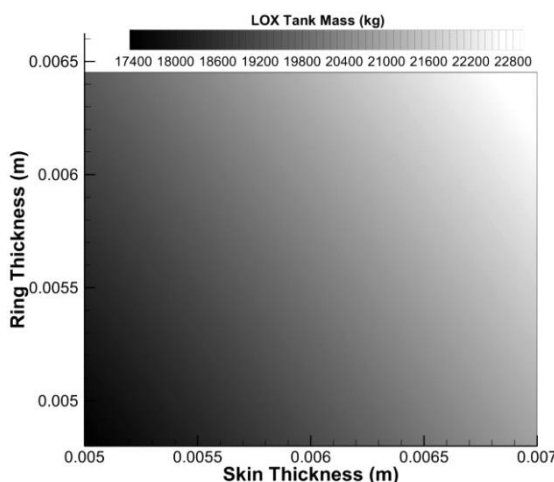
عضویت هر نسبت طراحی و رضایت تابع عضویت. مسئله در چارچوب تحلیل همزمان جامع بهصورت رابطه ۱ تعریف میگردد.



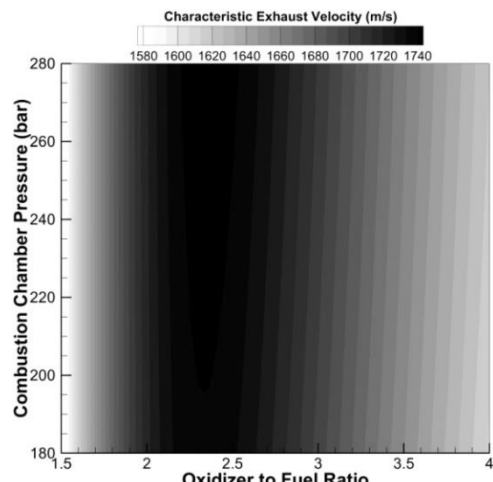
شکل ۴. نمودار تغییرات نسبت انبساط سطحی محفظه احتراق نسبت به فشار محفظه احتراق و نسبت دبی مصرفی



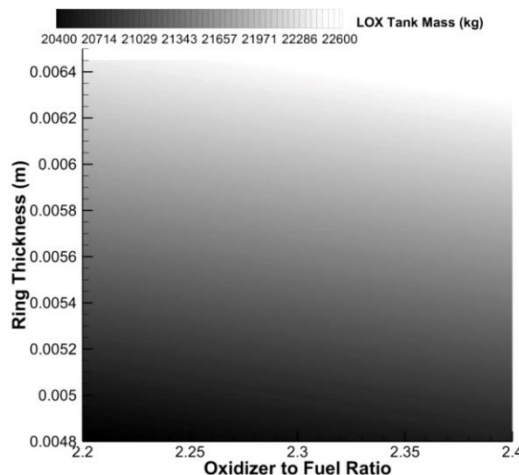
شکل ۳. نمودار تغییرات ضربه ویژه نسبت به فشار محفوظه احتراق و نسبت دبی مصرفی



شکل ۶. نمودار تغییرات جرم مخزن اکسید کننده نسبت به ضخامت رینگ و ضخامت پوسته



شکل ۵. نمودار تغییرات سرعت مشخصه نسبت به فشار محفوظه احتراق و نسبت دبی مصرفی



شکل ۷. نمودار تغییرات جرم مخزن اکسید کننده نسبت به ضخامت رینگ و نسبت دبی

زیربخش‌های طراحی مختلف، که هر کدام مربوط به یک موضوع طراحی می‌باشد، استفاده شده است. موضوع‌های طراحی مورد استفاده در این ماتریس عبارت است از: نیازمندی‌های مأموریت، پیشراش (احتراق)، طراحی موتور، هندسه، تخمین جرم، ائرودینامیک و شبیه‌سازی مسیر پرواز. بنابراین تعریف مسئله (توابع هدف و قیود طراحی) در روش طراحی بهینه چند موضوعی به صورت مجموعه روابط ۳ می‌باشد.

$$X = [P_{CC}, OF, P_e, t_{st}, t_r]^T$$

$$\min F(X) = \left[W_{eng}, \frac{1}{I_{SP}}, W_{st} \right]^T$$

subject to :

$$M_1 : 0 \leq \left(\frac{D_e}{D} \right)_i \leq 0.9; \quad i=1, N$$

$$M_2 : 0 \leq \frac{L}{D} \leq 15$$

$$M_3 : 1.2 \leq \left(\frac{T}{W} \right)_1 \leq 2.0$$

$$M_4 : 0.4 \leq \left(\frac{T}{W} \right)_2 \leq 1.0 \quad (3)$$

$$M_5 : 7755 \leq V_{Final} \leq 7765 \text{ m/sec}$$

$$M_6 : 398 \leq H_{Final} \leq 402 \text{ km}$$

$$M_7 : -1 \deg \leq \gamma_{insertion} \leq 1 \deg$$

$$M_8 : 0 \leq Q_{max} \leq 70 \text{ Kpa}$$

$$M_9 : 0 \leq (g load)_{max} \leq 7 \text{ g}$$

$$M_{10} : 0 \leq \max(Q - \alpha) \leq 200 \text{ deg.Kpa}$$

$$M_{11} : -1 \leq \alpha_{nearseparation} \leq +1 \deg$$

$$M_{12} : \text{Pitch Rate near separation} = 0 \text{ deg/sec}$$

۵. مقایسه روش‌های طراحی بهینه چند موضوعی و همزمان جامع

برای ارزیابی روش طراحی همزمان جامع و روش طراحی بهینه چند موضوعی، پارامترهای طراحی سیستمی موتور و سازه حامل فضایی زنیت ۲ (براساس مأموریت جدول ۲) بر مبنای روش سطح پاسخ مدل شده‌اند. مدل سطح پاسخ شکل‌های ۳ تا ۷ در روش طراحی همزمان جامع برای صحه‌گذاری بر قوانین فازی و در روش طراحی بهینه چند موضوعی به عنوان مدل موضوعات مورد استفاده قرار گرفته است. دانش فنی طراح به صورت فازی مدل

$$X = [P_{CC}, OF, P_e, t_{st}, t_r]^T$$

$$\min F(X) = \left[W_{eng}, \frac{1}{I_{SP}}, W_{st} \right]^T$$

$$M_1 : P_{CC\ min} \leq P_{CC} \leq P_{CC\ max}$$

$$M_2 : OF_{min} \leq OF \leq OF_{max}$$

$$M_3 : P_{e\ min} \leq P_e \leq P_{e\ max}$$

$$M_4 : t_{st\ min} \leq t_{st} \leq t_{st\ max}$$

$$M_5 : t_{r\ min} \leq t_r \leq t_{r\ max}$$

$$M_6 : t_{min} \leq t \leq t_{max}$$

تمرکز در فاز ثانویه برای دستیابی به سه رضایت است: رضایت نسبت‌های بایستگی طراحی (قیود)، رضایت نسبت‌های ایده‌آل طراحی (توابع هدف) و نهایتاً رضایت سراسری [۳۴]. این رضایت با تغییر پارامترهای رضایت مطابق با بازه آنها در روابط پیش رو با رویکرد طراحی تهاجمی و محافظه‌کارانه صورت خواهد پذیرفت. فاز سوم، معیار کارآیی است که بر بیشینه‌نمودن مشخصه انرژتیک حامل فضایی تمرکز دارد. در طراحی چند موضوعی حامل فضایی بهینه‌سازی زیرسamanه با توابع هدف متفاوت باید بیشینه انرژی را در نهایت برای حامل فضایی تامین نماید. در صورتی که رابطه انرژی (سرعت نهایی) حامل فضایی به صورت رابطه ۲ باشد:

$$\Delta V_{total} = - \sum_{i=1}^N g I_{spi} \ln \frac{M_{fi}}{M_{0i}} \quad (2)$$

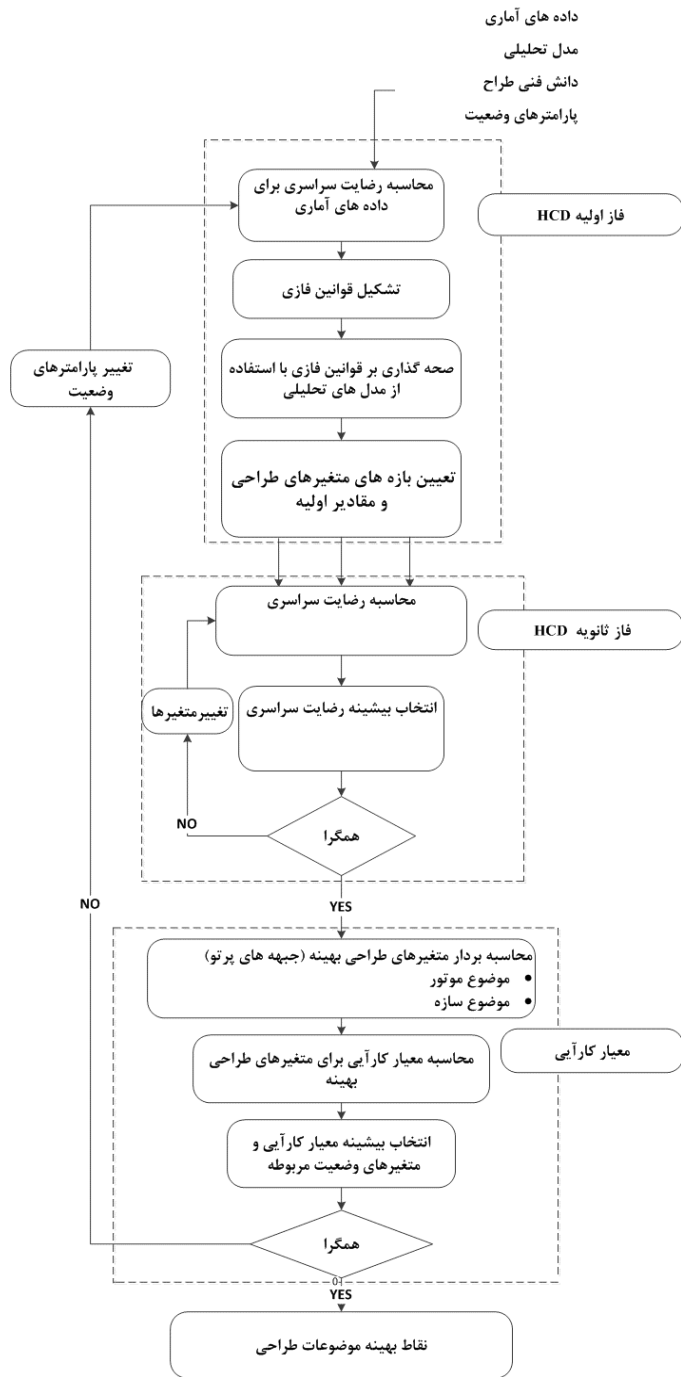
به طوری که در این رابطه ΔV_{total} سرعت نهایی قبلی دستیابی به کمک N مرحله حامل، M_{fi} جرم نهایی هر مرحله یا جرم سازه خشک هر مرحله به اضافه جرم بلوک مرحله بعدی، M_{0i} جرم اولیه هر مرحله از حامل فضایی و نهایتاً I_{spi} ضربه ویژه هر مرحله است. برای این منظور، برای هر یک از زیرسamanه‌های موتور و سازه نقاط طراحی براساس روش‌های تحلیلی محاسبه می‌شود که این نقاط به عنوان نقاط کنترلی معیار کارآیی در انتخاب بهینه وزن سازه، ضربه ویژه موتور و وزن موتور در نظر گرفته می‌شود. در فاز سوم، براساس بیشینه معیار کارآیی پارامترهای موضوعات طراحی بهینه انتخاب می‌شوند. با توجه به معرفی معیار کارآیی؛ یعنی بیشینه‌نمودن سرعت نهایی حامل فضایی نقاط بهینه و پارامترهای طراحی محاسبه می‌شوند [۳۴].

۶. روش طراحی بهینه چند موضوعی

در شکل ۹ ماتریس طراحی بهینه چند موضوعی نمایش داده شده است. برای پیاده‌سازی روندnamahای طراحی حامل فضایی، از

می باشند. در ادامه پیاده سازی دو روش بهینه سازی طراحی چند موضعی اجرا و برای یک مثال نمونه مقایسه شده است.

شده اند و فرم توابع عضویت با استفاده از کدهای تحلیلی و رفتار نمودارهای ارائه شده برای موضوعات طراحی، قابل صحه گذاری



شکل ۸. روند نمای چارچوب طراحی همزمان جامع [۳۴]

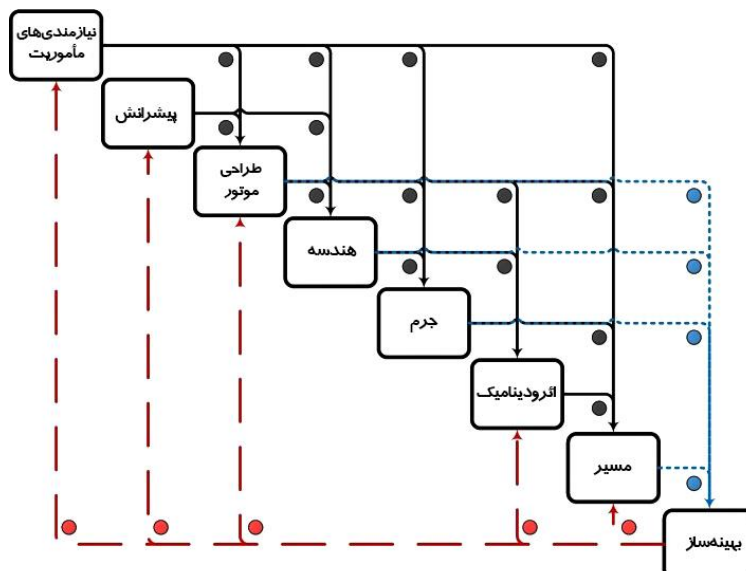
روش می توان به جستجوی سراسری و انتخاب نقاط بهینه به روش غیرشایستگی اشاره کرد که سبب افزایش سرعت همگرایی در نقاط بهینه می شود. نوع مود و مقادیر پارامترها در این بهینه سازی در جدول ۳ ذکر شده است.

۱-۵. بهینه ساز طراحی همزمان جامع و بهینه چند موضعی
برای بهینه سازی در چارچوب های طراحی همزمان جامع و بهینه چند موضعی، از روش بهینه سازی الگوریتم ژنتیک چند هدفه^{۱۲} موجود در نرم افزار مطلب استفاده شده است. از ویژگی های این

۴-۲-۵. ارزیابی نتایج حاصل از بهینه‌سازی

شکل‌های ۱۰ و ۱۱ و همچنین برای وزن سازه خشک مراحل نسبت به ضربه ویژه موتور در شکل‌های ۱۲ و ۱۳ نمایش داده شده‌اند. در هر یک از این چهار شکل، نقطه کاری واقعی موتورها و همچنین سازه و کارآبی هر مرحله به صورت دایره نشانه‌گذاری شده است.

در روش‌های طراحی همزمان جامع و بهینه چند موضوعی با توجه به بازه‌های متغیرهای طراحی (جدول ۴)، دو موضوع (سازه و موتور)، توابع هدف (نسبت‌های طراحی ایده‌آل) به صورت جبهه‌های پرتو برای وزن موتور نسبت به کارآبی (ضربه ویژه) موتورهای مراحل مختلف زنیت ۲ (آر. دی. ۱۷۰^{۱۳} و آر. دی. ۱۲۰^{۱۴}) به ترتیب در



شکل ۹. ماتریس طراحی بهینه چند موضوعی حامل فضایی

جدول ۱. برخی از قوانین فازی انتخابی برای دو موضوع موتور و سازه [۳۴]

Selected fuzzy IF-THEN rules for optimum Specific Impulse (I_{sp}) and Liquid Engine Weight (W_{eng})		
row	IF Antecedent	THEN Consequent
1	If (Pcc is Low) and (OF is Low) and (Pex is Low)	then (I_{sp} is Medium)(W is Medium)
2	If (Pcc is Low) and (OF is Medium) and (Pex is Medium)	then (I_{sp} is Medium)(W is Medium)
3	If (Pcc is Low) and (OF is High) and (Pex is High)	then (I_{sp} is VBad)(W is Good)
4	If (Pcc is Medium) and (OF is Low) and (Pex is Low)	then (I_{sp} is Good)(W is Bad)

Selected fuzzy IF-THEN rules for optimum Tank Weight (W_{st}) and Specific Impulse (I_{sp})		
row	IF Antecedent	THEN Consequent
1	If (OF is Low) and (tst is Med) and (tr is Med) and (t is Low)	then (W_{st} is Good)(I_{sp} is Bad)
2	If (OF is Low) and (tst is High) and (tr is High) and (t is Low)	then (W_{st} is Bad)(I_{sp} is Bad)
3	If (OF is Med) and (tst is High) and (tr is Low) and (t is Low)	then (W_{st} is VVg)(I_{sp} is Med)
4	If (OF is Med) and (tst is High) and (tr is High) and (t is Low)	then (W_{st} is Med)(I_{sp} is Med)

جدول ۲. ورودی مأموریت حامل فضایی زنیت ۲

ردیف	پارامتر	مقدار	واحد
۱	ارتفاع مداری	۲۴۰	کیلومتر
۲	اوج مدار	دایروی	-
۳	حضیض مدار	دایروی	-
۴	شیب مداری	۹۹	درجه
۵	عرض جغرافیایی سایت پرتاب	۳۵	درجه
۶	جرم بار محموله	۱۱۳۸۰	کیلوگرم
۷	قطر مراحل	۳/۹	متر

جدول ۳. مقادیر پارامترهای مربوط به بهینه ساز الگوریتم ژنتیک چند هدفه

متغیر / مود	مقدار
تعداد کروموزومها (اندازه جمعیت)	۵۰
تعداد نسل (معیار توقف)	۵۰۰
انتخاب	استاندارد
جایگذاری	ضعیف ترین
احتمال جهش	۰/۰۱
ترکیب و جفت شدن	دو نقطه استاندارد

جدول ۴. بازه متغیرهای طراحی

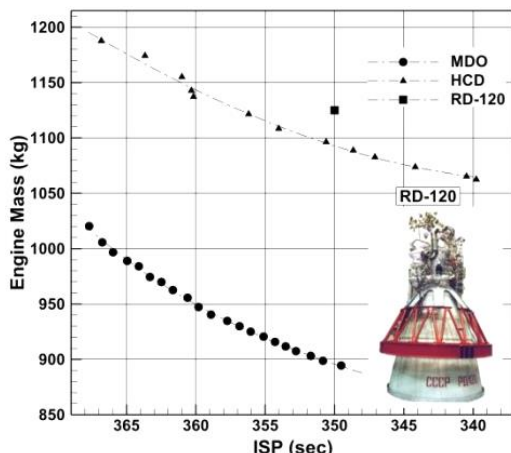
متغیرهای طراحی	شماره مرحله و نام موتور	بیشینه	کمینه	بیشینه	کمینه	بیشینه	کمینه	مرحله اول، آر. دی.	مرحله دوم، آر. دی.	بازه
فشار محفظه احتراق (بار)	شماره مرحله و نام موتور	۱۲۰	مرحله دوم، آر. دی.	۱۷۰	مرحله اول، آر. دی.	۱۷۶	۱۵۰	۲۶۰	۲۳۰	۱
نسبت دبی مصرفی (اکسنده به سوخت)	فشار خروجی نازل واگرا (بار)	۲/۸	۲/۴	۲/۷۵	۲/۴۵	۰/۰۳	۰/۰۱	۰/۸	۰/۶	۲
ضخامت استرینگ (میلی متر)	ضخامت رینگ (میلی متر)	۳/۸	۲/۵	۵/۵	۳/۵	۳/۸	۲/۵	۵/۵	۳/۵	۴
ضخامت پوسته (میلی متر)	ضخامت پوسته (میلی متر)	۴	۲	۴/۵	۲/۵					۵

۶. نتیجه گیری

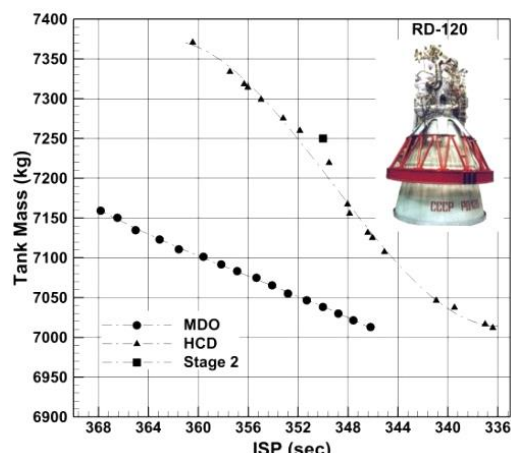
برای طراحی چند موضوعی (موضوعات سازه و موتور) حامل فضایی موجود (زنیت ۲) مورد بررسی و ارزیابی قرار گرفت. در این روش زمان بهینه سازی سه هدفی (وزن موتور، وزن سازه و کارآیی موتور (ضربه ویژه)) برای شش پارامتر بهینه سازی (فشار محفظه احتراق، فشار خروجی نازل، نسبت دبی مصرفی اکسید کننده به سوخت، ضخامت رینگ، ضخامت پوسته و ضخامت استرینگ) تقریباً ۱۵ ساعت به طول انجامید، در حالی که در روش تک سطحی

در این مقاله به کارگیری دو چارچوب طراحی همزمان جامع و طراحی بهینه چند موضوعی برای طراحی حامل های فضایی بررسی شدند. هر یک از این دو چارچوب برای بهینه سازی چند موضوعی در طراحی دارای قابلیت های مختلفی می باشد که در ادامه به آنها پرداخته خواهد شد. از نظر زمان و پیچیدگی مدل سازی مسئله دو روش تقریباً در سطح یکسانی قرار دارند و به طور شفاف نمی توان بین آنها برتری قائل شد. دو چارچوب فوق،

مقدار واقعی نزدیکتر است و دلیل این امر به دلیل وابستگی نتایج روش به دانش فنی طراحی و داده‌های آماری است. در حالی که در چارچوب طراحی بهینهٔ چند موضوعی، براساس محدودیت نقض قیود تمامی فضای طراحی مورد بررسی قرار خواهد گرفت و نتایج در حد امکان بهینه در اختیار قرار خواهد گرفت. گفتنی است با تأثیردادن داشت طراح در تعریف قیود، در روش طراحی بهینهٔ چند موضوعی از این منظر امکان بهبود وجود دارد.

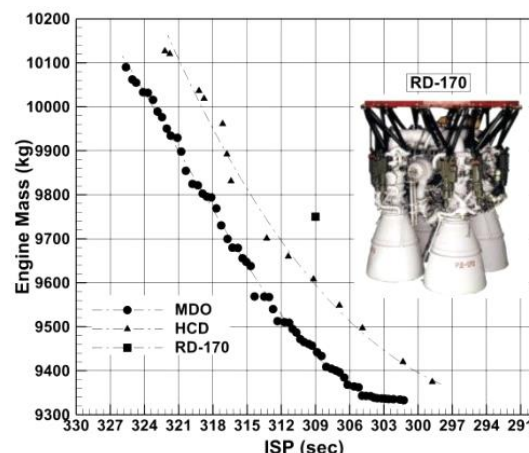


شکل ۱۱. جبههٔ پرتو توابع هدف موتور مرحلهٔ دوم (وزن و ضربهٔ ویژهٔ موتور)

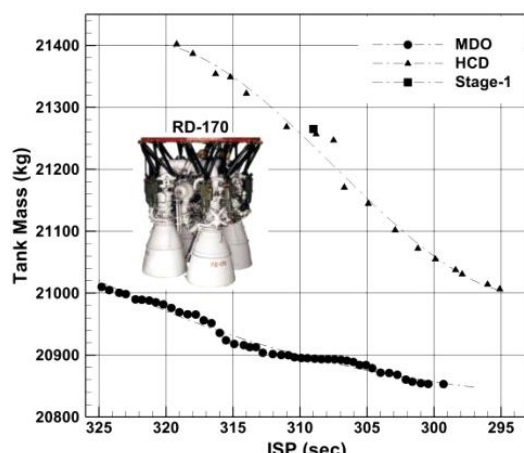


شکل ۱۳. جبههٔ پرتو توابع هدف سازه و موتور مرحلهٔ دوم

طراحی بهینهٔ چند موضوعی برای تک هدف (کمینه‌نمودن وزن اولیه) و همین تعداد متغیر طراحی، زمان بهینه‌سازی با پردازشگر مشابه برابر ۵۴ ساعت می‌باشد و همین طور برای مسئلهٔ سه‌هدفی برای همین تعداد متغیر طراحی، زمان بهینه‌سازی بیش از سه هفته به طول انجامید. از نظر دقت نتایج، چنانچه نتایج بهینه‌سازی بهصورت جبهه‌های پرتو برای دو چارچوب در شکل‌های ۱۰ تا ۱۳ نمایش داده شده است. دقت چارچوب طراحی همزمان جامع به



شکل ۱۰. جبههٔ پرتو توابع هدف موتور مرحلهٔ اول (وزن و ضربهٔ ویژهٔ موتور)



شکل ۱۲. جبههٔ پرتو توابع هدف سازه و موتور مرحلهٔ اول

فهرست علائم و اختصارات

معرف قیود مسئلهٔ یا جرم	M	قطر حامل فضایی	D
جرم نهایی	M_f	قطر خروجی نازل موتور	D_e
جرم اولیه	M_0	شمارندهٔ مراحل	i
تعداد مراحل	N	ضربهٔ ویژه	I_{SP}
نسبت دی اکسیدکننده به سوخت	$\left(\frac{O}{F}\right), OF$	طول حامل فضایی	L

ضخامت رینگ	t_r	فشار محفظه احتراق موتور	P_{cc}
سرعت نهایی	V_{Final}	فشار محیط عملکردی موتور	P_e
وزن موتور	W_{eng}	هد دینامیکی	Q
وزن سازه	W_{st}	تراست موتور	T
سرعت نهایی قابل دستیابی حامل	ΔV_{total}	ضخامت پوسته مخزن	t
زاویه حمله	α	ضخامت استرینگر	t_{st}

۷. مأخذ

- [1] M. Mirshams, H Karimi, H. Naseh, Multi-stage liquid propellant launch vehicle conceptual design based on combinatorial optimization of major design parameters, *Journal of Space Science & Technology (JSST)*, Vol. 1, No. 1, pp. 21-36, 2008. (in Persian)
- [2] M. Mirshams, H Karimi, H. Naseh, Multi-stage liquid propellant launch vehicle conceptual design (LVCD) software based on combinatorial optimization of major design parameters, *Journal of Space Science & Technology (JSST)*, Vol. 1, No. 2, pp. 17-25, 2009. (in Persian)
- [3] M. Mirshams, H. Naseh, A. R. Novinzadeh, Low Thrust Space Propulsion Design Methodology, *Journal of Space Science & Technology (JSST)*, Vol. 7, No. 3, 2014. (in Persian)
- [4] J. Sobieszcanski-Sobieski, J. F. Barthelemy, K. M. Riley, Sensitivity of optimum solutions to problem parameters, *AIAA J*, Vol. 2, No. 9, pp. 1291-1299, 1982.
- [5] R.T. Haftka, Simultaneous Analysis and Design (SAND), *AIAA J*, Vol. 23, No. 7, pp. 1099-1103, 1985.
- [6] R. D. Braun, I. M. Kroo, Development and application of the collaborative optimization architecture in a multidisciplinary design environment, In: Alexandrov N, Hussaini MY (eds) *Multidisciplinary design optimization: state of the art*. SIAM, Philadelphia, pp. 98-116, 1997.
- [7] W. Hammond, *Space Transportation: A Systems Approach to Analysis and Design*, Reston, VA: AIAA, 1999.
- [8] C. Geethaikrishnan, Multidisciplinary Design Optimization Strategy in Multi-Stage Launch Vehicle Conceptual Design, *1st Progress Seminar Report*, Department of Aerospace Engineering Indian Institute of Technology, Bombay, August 2003.
- [9] J. Jodei, M. Ebrahimi, J. Roshanian, Multidisciplinary design optimization of a small solid propellant launch vehicle using system sensitivity analysis, *Journal of Structural and Multidisciplinary Optimization*, Vol. 38, No. 1, pp. 93-100, 2009.
- [10] H. R. Fazeley, H. Taei, H. Naseh, M. Mirsham, A multi-objective, multidisciplinary design optimization, methodology for the conceptual design of a spacecraft bi-propellant propulsion system, *Journal of Structural and Multidisciplinary Optimization*, Vol. 53, No. 1, pp 145-160, 2016.
- [11] N. M. Alexandrov, S. Kodiyalam, Initial results of an MDO evaluation survey, *AIAA Paper 4884*, 1998.
- [12] N. M. Alexandrov, R. M. Lewis, Analytical and computational aspects of collaborative optimization for multidisciplinary design, *AIAA J*, Vol. 40, No. 2, pp. 301-309, 2002.
- [13] N. P. Tedford, J. R. R. A. Martins, Benchmarking multidisciplinary design optimization algorithms, *Optimal Engineering Journal*, Vol. 11, No. 1, pp. 159-183, 2010.
- [14] S. I. Yi, J. K. Shin, G. J. Park, Comparison of MDO methods with mathematical examples, *Journal of Structural and Multidisciplinary Optimization*, Vol. 35, No. 5, pp. 391-402, 2008.
- [15] R. Chhabra, M. R. Emami, Linguistic Mechatronics, *IEEE/ASME International Conference on Advanced Intelligent Mechatronics*, China, 2008.
- [16] V. Ragusila, M. R. Emami, A Mechatronics Approach to Legged Locomotion, Canada, *IEEE/ASME International Conference on*

Advanced Intelligent Mechatronics, July 6-9, 2010.

- [17] M. R. Emami, R. Chhabra, *Concurrent Engineering of Robot Manipulators*, University of Toronto Institute for Aerospace Studies Canada, Book chapter, 2010.
- [18] I. M. Chen, J. W. Burdick, Determining Task Optimal Modular Robot Assembly Configurations, *IEEE International Conference on Robotics and Automation*, pp. 132-137, 1995.
- [19] Z. M. Bi, W. A. Gruver, S. Y. T. Lang, Analysis and Synthesis of Reconfigurable Robotic Systems, *Concurrent Engineering: Research and Applications*, Vol. 12, No. 2, pp. 145-153, 2004.
- [20] Z. M. Bi, W. J. Zhang, Concurrent Optimal Design of Modular Robotic Configuration, *Journal of Robotic Systems*, Vol. 18, No. 2, pp. 77-87, 2001.
- [21] N. P. Suh, Axiomatic Design Theory for Systems, *Research in Engineering Design*, Vol. 10, No. 4, pp. 189-209, 1998.
- [22] G. S. Chirikjian, Kinematics of a Metamorphic System, *IEEE International Conference on Robotics and Automation*, pp. 449-455, 1994.
- [23] D. Rus, C. Mc Gray, Self-Reconfigurable Modular As 3-D Metamorphic Robots, *IEEE International Conference on Intelligent Robots and Systems*, pp. 837-842, 1998.
- [24] E. Yoshida, S. Kokaji, S. Murata, H. Kurokawa, K. Tomita, Miniaturized Self-Reconfigurable System Using Shape Memory Alloy, *IEEE International Conference on Intelligent Robots and Systems*, pp. 1579-1585, 1999.
- [25] D. Rus, M. Vona, A Physical Implementation of Self-Reconfigurable Crystalline Robot, *IEEE International Conference on Robotics and Automation*, pp. 1726-1733, 2000.
- [26] S. Murata, E. Yoshida, K. Tomita, H. Kurokawa, Kamimura and S. Kokaji, Hardware Design of Modular Robotic System, *IEEE International Conference on Intelligent Mechatronics*, July 6-9, 2010.
- [27] K. N. Otto, E. K. Antonsson, Imprecision in Engineering Design, *ASME Journal of Mechanical Design*, Vol. 117, No. B, pp. 25-32, 1995.
- [28] R. R. Yager, D. P. Filev, *Essentials of Fuzzy Modeling and Control*, New York: John Wiley & Sons, 1994.
- [29] M. R. Emami, I. B. Turksen, A. A. Goldenberg, A Unified Parameterized Formulation of Reasoning in Fuzzy Modeling and Control, *Fuzzy sets and Systems*, Vol. 108, No. 1, pp. 59-81, 1999.
- [30] K. N. Otto, E. K. Antonsson, Trade-off Strategies in engineering design, *Research in Engineering Design*, Volume 3, No. 2, pp. 87-103, 1991.
- [31] M. Sugeno, T. Yasukawa, A Fuzzy-logic based Approach to Qualitative Modeling, *IEEE Transactions on Fuzzy Systems*, Vol. 1, pp. 7-31, 1993.
- [32] R. Chhabra, M. R. Emami, Holistic System Modeling in Mechatronics, *Mechtronics*, Vol. 21, No. 1, pp. 166-175, 2011.
- [33] M. Mirshams, H. Naseh, H. Taei, H. R. Fazeley, Liquid propellant engine conceptual design by using a fuzzy-multi-objective genetic algorithm (MOGA) optimization method, *Journal of Aerospace Engineering*, Vol. 228 No. 14, pp. 2587-2603, 2014.
- [34] M. Mirshams, H. Naseh, H. R. Fazeley, Multi-objective Multidisciplinary design of Space Launch System using Holistic Concurrent Design, *Journal of Aerospace, Science and Technology*, Volume 33, Issue 1, pp. 40-54, 2014.
- [35] M. Mirdamadian, M. Mirshams, Structural Design of Liquid propellant Space Launch System, *Master of Science Thesis, K. N. Toosi University of Technology*, 2013. (in Persian)

پی‌نوشت

-
- 1. MDF
 - 2. multidisciplinary design optimization (MDO)

-
- 3. holistic concurrent design (HCD)
 - 4. aggressive design

-
- 5. conservative design
 - 6. adaptive neuro-fuzzy inference system (ANFIS)
 - 7. product tree (PT)
 - 8. function tree (FT)
 - 9. finite element method
 - 10. rocket propulsion analysis (RPA)
 - 11. chemical equilibrium and applications (CEA)
 - 12. MOGA
 - 13. RD-170
 - 14. RD-120